

## مدل سازی اثر زوال بذر بر سبز شدن گندم در تنفس خشکی: بهینه سازی برنامه Germin در پیش بینی الگوی سبز شدن

الیاس سلطانی<sup>\*</sup>، افشنین سلطانی<sup>۲</sup>، مصطفی اویسی

۱. استادیار گروه علوم زراعی و اصلاح نباتات، پردیس ابوریحان، دانشگاه تهران، پاکدشت- ایران
۲. استاد گروه زراعت، دانشکده علوم زراعی، دانشگاه علوم کشاورزی و منابع طبیعی گرگان، گرگان- ایران
۳. استادیار گروه علوم زراعی و اصلاح نباتات، پردیس ابوریحان، دانشگاه تهران، پاکدشت- ایران

تاریخ پذیرش مقاله: ۹۲/۲/۳۱

تاریخ وصول مقاله: ۹۱/۱۰/۶

### چکیده

تاکنون، برنامه های کامپیوتری مختلفی نظری برنامه Germin برای محاسبه مؤلفه های جوانه زنی طراحی شده است که استفاده از آن ها اشکالاتی در بر دارد. هدف از این مطالعه اصلاح برنامه Germin برای محاسبه مؤلفه های جوانه زنی بود. با کمک برنامه بهینه شده اقدام به مدل سازی تأثیرات زوال بذر بر سبز شدن گندم در سطوح مختلف خشکی شد. به این منظور این آزمایش در قالب طرح آماری کاملاً تصادفی به روش فاکتوریل با ترکیب پنج سطح زوال بذر (صفر، ۴۸، ۷۲، ۹۶ و ۱۴۴ ساعت دوره تسريع پیری) و سه سطح خشکی (۵-۱۰-۱۰ بار) انجام شد. نتایج نشان داد که تابع چاپمن- ریچاردز به خوبی سبز شدن تجمعی را در همه تیمارهای زوال بذر و شرایط خشکی شرح می دهد. با افزایش دوره های تسريع پیری زمان حرارتی برای سبز شدن از ۱۴۵ به ۱۹۴ درجه سانتی گراد روز رشد افزایش یافت و تنفس خشکی نیز به افزایش زمان حرارتی منجر شد. برای مثال در تیمار ۱۴۴ ساعت تسريع پیری زمان حرارتی به ۲۴۰ درجه سانتی گراد روز رسید. درصد و سرعت سبز شدن با افزایش دوره تسريع پیری کاهش یافتند. نتایج نشان داد با افزایش زمان حرارتی در شرایط مطلوب محیطی زمان حرارتی برای سبز شدن در شرایط تنفس خشکی به طور خطی افزایش یافت. برنامه بهینه شده توانست مؤلفه های جوانه زنی را محاسبه کند و توصیه می شود در مطالعات بذری از Germin بهینه شده استفاده شود.

کلیدواژه ها: تسريع پیری، جوانه زنی، زمان حرارتی، مدل چاپمن- ریچاردز.

مطالعه تأثیرات زوال بذر بر جوانه‌زنی گندم در واکنش به دما با استفاده از مدل‌های مذکور، نشان داده شد که بر اثر زوال بذر شکل تابع برآزش یافته به واکنش سرعت جوانه‌زنی به دما و در نتیجه پیش‌بینی دماهای کاردينال تغییر نکرد. اما، حداکثر سرعت ذاتی جوانه‌زنی بین تیمارهای زوال متفاوت بود [۲۳].

علاوه بر کاربرد مستقیم توابع دمایی برای محاسبه دماهای کاردينال و سرعت ذاتی جوانه‌زنی، برنامه‌های مختلفی نظیر برنامه Germin [۲] برای محاسبه مؤلفه‌های جوانه‌زنی یا سبزشدن مثل زمان تا شروع و پایان جوانه‌زنی، سرعت جوانه‌زنی و یکنواختی جوانه‌زنی نوشته شده‌اند. در مطالعات علوم بذر، ایرادی که بر این برنامه وارد است این است که زمان تا درصدهای خاصی از جوانه‌زنی را بر حسب حداکثر جوانه‌زنی در آن تیمار خاص محاسبه می‌کند، در نتیجه در شرایط تنش‌های محیطی که درصد جوانه‌زنی و سبزشدن کاهش می‌یابد، ممکن است محاسبه درستی از زمان تا درصدهای خاصی از جوانه‌زنی نشان ندهد. برای مثال ممکن است بذور در شرایط تنش، حتی کمتر از ۵۰ درصد جوانه‌زنی داشته باشند و در نتیجه هرگز ۵۰ یا ۹۰ درصد جوانه نزنند، ولی این برنامه براساس ۹۰ حداکثر میزان جوانه‌زنی در آن تیمار، زمان تا ۵۰ و درصد جوانه‌زنی را محاسبه می‌کند که در مقایسه با مقادیر پارامترها میان تیمارهای آزمایشی قابل استفاده نیست. برنامه‌های دیگری نظیر برنامه Germinator نیز پیشنهاد شده است [۱۴]. این برنامه با استفاده از روش عکس‌برداری همزمان<sup>۱</sup> درصد جوانه‌زنی را محاسبه می‌کند و سپس، به داده‌های درصد جوانه‌زنی تجمعی مدل هیل را برآزش می‌دهد و با کمک آن پارامترهایی نظیر درصد،

## ۱. مقدمه

سبزشدن یکی از مراحل مهم فنولوژیکی گیاهان است [۹]. کاهش درصد و سرعت سبزشدن موجب استقرار ضعیف و عدم پوشش مناسب زمین خواهد شد که بر عملکرد نهایی اثر منفی می‌گذارد [۸]. مطالعات نشان داده است که بذرهایی با قدرت بالاتر اولیه دارای جوانه‌زنی و رشد اولیه بهتری هستند [۵، ۳، ۴]. قدرت یا کیفیت بذر متناسب با میزان دما و رطوبت بذر در دوران رسیدگی، برداشت، خرمن‌کوبی، خشک‌کردن، ذخیره‌کردن و شرایط کاشت تغییر می‌کند [۱۵، ۱۶، ۷، ۲۵، ۱۷]. شرایط انباری متفاوت باعث ایجاد اختلاف‌های معنی‌داری در جوانه‌زنی و سبزشدن گیاهان می‌شود [۶]. اثر قدرت بذر روی کارکرد جوانه‌زنی و سبزشدن بذر به نوع تنش‌های محیطی آن دوره بستگی دارد که تحت شرایط تنش در گونه‌های مختلف گیاهی متغیر است [۵].

تشخیص کاهشی یکی از عوامل مهم ناتوانی بذور در سبزشدن موفق در شرایط مزرعه محسوب می‌شود. این تنش سرعت و درصد سبزشدن را کاهش می‌دهد و در نهایت، استقرار گیاهچه را به تأخیر می‌اندازد [۱۹]. در آزمایشی به بررسی اثر تنش‌های محیطی بر سبزشدن بذرهای آفتابگردان، سویا و ذرت با سطوح مختلف قدرت بذر پرداخته شد و نشان داده شد میزان کاهش درصد سبزشدن برای بذرهایی با سطح قدرت بذر بالاتر نسبت به بذرهایی با قدرت متوسط و پایین کمتر بود. به این معنا که بذرهایی با قدرت بذر کمتر، دامنه تحمل کمتری نسبت به شرایط تنش نشان می‌دهند [۵].

بعضی محققان به توصیف و پیش‌بینی سبزشدن و جوانه‌زنی بذر با استفاده از مدل‌های رگرسیونی پرداخته‌اند [۲۰، ۲۲، ۲۳]. امتیاز این توابع این است که پارامترهای این مدل‌ها مانند دماهای کاردينال و سرعت ذاتی جوانه‌زنی و سبزشدن دارای مفاهیم بیولوژیکی هستند [۱۰-۱۳]. در

بدون منفذ قرار داده شد و سپس، به میزان ۶ کیلوگرم در آن‌ها خاک ریخته شد. مجموع وزن خاک خشک، وزن گلدان خالی، پلاستیک و آب (برای پتانسیل‌های مختلف) به عنوان وزن مرجع در نظر گرفته شد. گلدان‌ها به‌طور روزانه وزن می‌شدند و در هنگام نیاز، به اندازه اختلاف از وزن مرجع به آن‌ها آب اضافه می‌شد.

خاک مورد نیاز برای اجرای آزمایش دارای ۲۸ درصد رس، ۶۲ درصد سیلت، ۱۰ درصد شن، و وزن مخصوص ظاهری ۱/۷ گرم در سانتی‌متر مکعب بود. پتانسیل‌های خشکی (در دو سطح ۱- و ۵- بار) پس از تعیین درصد رس، سیلت، شن و وزن مخصوص ظاهری خاک با استفاده از منحنی رطبوبتی خاک حاسبه شد که رابطه بین پتانسیل آب خاک و رطبوبت خاک را مشخص می‌کند [۲۱]. در این آزمایش برای ترسیم منحنی رطبوبتی خاک از برنامه Psaycalc استفاده شد [۲۴، ۲۶].

برای محاسبه زمان حرارتی از رابطه زیر استفاده شد [۲۰]:

$$y = (\bar{T} - T_b)t_{(g)} \quad (1)$$

در این رابطه  $y$  زمان حرارتی برای سبزشدن بذر،  $\bar{T}$  میانگین دما طی دوره آزمایش،  $T_b$  دمای پایه برای سبزشدن (برای این توده‌های بذر ۲/۱ درجه سانتی‌گراد [۲۳]) و  $t_{(g)}$  زمان تا سبزشدن درصد خاصی از بذور است.

## ۱.۲ روش بهینه‌سازی برنامه Germin

در برنامه Germin زمان رسیدن به درصد خاصی از حداقل جوانه‌زنی محاسبه می‌شود، برای مثال در یک توده بذر با درصد جوانه‌زنی نهایی ۴۰ درصد، زمان تا ۵۰ درصد حداقل جوانه‌زنی معادل زمان تا ۲۰ درصد جوانه‌زنی خواهد بود. همچنین، در برنامه Germin محاسبه مؤلفه‌ها از درون‌یابی خطی داده‌های تجمعی جوانه‌زنی یا سبزشدن صورت می‌گیرد. البته در مدل‌های شیوه‌سازی گیاهان

سرعت و یکنواختی جوانه‌زنی را محاسبه می‌کند. با توجه به دسترسی نداشتن به امکانات این تکنیک در ایران، روشی ساده‌تر و در عین حال دقیق می‌تواند کمک خوبی به محققان کشور در این زمینه باشد. بنابراین، هدف از این مطالعه اصلاح برنامه Germin برای محاسبه مؤلفه‌های جوانه‌زنی بود و با کمک برنامه بهینه‌شده اثر زوال بذر بر واکنش سبزشدن بذر گندم (رقم زاگرس) تحت شرایط خشکی ارزیابی شد.

## ۲. مواد و روش‌ها

این مطالعه روی بذر گندم رقم زاگرس، در گلخانه دانشکده کشاورزی دانشگاه علوم کشاورزی و منابع طبیعی گرگان، در سال ۱۳۸۷، انجام شد. این آزمایش در قالب طرح آماری کاملاً تصادفی به روش فاکتوریل با ترکیب پنج سطح زوال بذر (صفر، ۴۸، ۷۲، ۹۶ و ۱۴۴ ساعت دوره تسریع پیری) و سه سطح خشکی (۱-، ۵- و ۱۰- بار) انجام شد. برای زوال بذراها از روش تسریع پیری استفاده شد [۱۸، ۳، ۲۳]. در این روش بذراها برای دوره‌های ۰، ۴۸، ۹۶، ۷۲ و ۱۴۴ ساعت در دمای ۴۳ درجه سانتی‌گراد و رطبوبت نسبی بالای ۹۵ درصد قرار گرفتند. برای این کار بذراها روی توری سیمی از جنس آلومینیوم ریخته شدند و در ظرف‌های واکیوم قرار داده شدند که در کف آن آب ریخته شده بود و سپس، ظرف‌ها در دمای مورد نظر قرار گرفتند (برای هر تیمار از ظرف‌های جداگانه استفاده شد). در نهایت، همه بذراها در یک زمان از انکوباتور خارج شدند.

برای کشت در گلخانه تعداد ۲۵ بذر از هر تیمار بذری زوال در ۴ تکرار تحت شرایط شاهد (پتانسیل ۱- بار)، خشکی متوسط (پتانسیل ۵- بار) و خشکی شدید (پتانسیل ۱۰- بار) در گلدان‌هایی با قطر دهانه ۲۵ سانتی‌متر و ارتفاع ۱۷ سانتی‌متر کشت شدند. داخل گلدان‌ها پلاستیک‌های

کرد، برای مثال از T30 در مورد یکنواختی سبزشدن نیز با توجه به اینکه یکنواختی سبزشدن اختلاف بین زمان شروع تا پایان سبزشدن است، می‌توان با تغییر در برنامه اختلاف دو دهک دیگر را محاسبه کرد. برای مثال اگر حداکثر سبزشدن ۳۰ درصد باشد، می‌توان اختلاف T30 و T10 را به عنوان یکنواختی سبزشدن یا جوانه‌زنی، در نظر گرفت. این کار را محققان دیگری نیز انجام داده‌اند [۱۴].

دومین تفاوت در نحوه محاسبه زمان تا سبزشدن یا جوانه‌زنی، است (شکل ۱). در Germin (نسخه ۲) زمان تا درصدهای خاصی از سبزشدن یا جوانه‌زنی، برای حداکثر جوانه‌زنی محاسبه نمی‌شود، بلکه مقدار حداکثر ۱۰۰ درصد در نظر گرفته می‌شود؛ یعنی قابلیت توده بذری برای جوانه‌زنی ۱۰۰ درصد بوده است که از این ۱۰۰ درصد ممکن است درصد کمتری جوانه بزند. برای مقایسه بهتر دو نسخه این برنامه به شکل ۱ توجه کنید. همان‌طور که مشاهده می‌شود، در نسخه جدید برنامه، بعد از برآشدن مدل چاپمن - ریچاردز زمان تا ۱۰، ۵۰ و ۹۰ درصد سبزشدن محاسبه می‌شود. در شکل ۱الف مشاهده می‌شود به دلیل اینکه درصد سبزشدن کمتر از ۹۰ درصد بوده است زمان تا رسیدن به این درصد بی‌نهایت خواهد بود، یعنی هرگز، به این زمان نخواهد رسید که در واقع نیز چنین است. در نسخه قدیمی این برنامه زمان تا درصدهای خاصی از جوانه‌زنی یا سبزشدن، براساس حداکثر درصد جوانه‌زنی یا سبزشدن، محاسبه می‌شود. برای مثال در شکل ۱ب درصد سبزشدن معادل ۶۷ درصد بوده است، یعنی ۱۰، ۵۰ و ۹۰ درصد حداکثر سبزشدن در اصل زمان تا ۶/۷، ۶/۳ و ۳۳/۵ بوده است و نسخه قدیمی برنامه زمان تا رسیدن به این درصدها را محاسبه می‌کند.

زراعی زمان رسیدن به مراحل مختلف فنولوژیک براساس ۵۰ درصد از حداکثر آن مرحله فنولوژیک اهمیت دارد. برنامه بهینه‌شده Germin (نسخه ۲) دو تفاوت اساسی با نسخه قدیمی خود دارد؛ اول اینکه، روند جوانه‌زنی یا سبزشدن، با استفاده از مدل رشد چاپمن - ریچاردز به صورت زیر کمی‌سازی شد (شکل ۱الف):

$$E(%) = a(1 - \exp(-by))^c \quad (2)$$

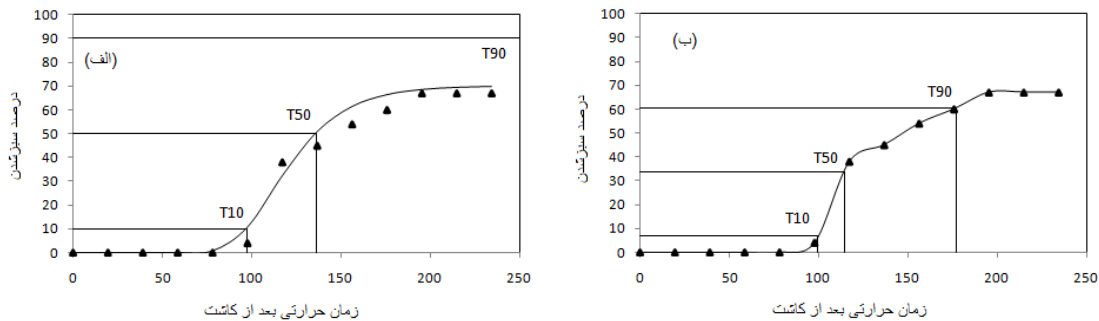
که در این رابطه  $E$  درصد سبزشدن گیاهچه یا جوانه‌زنی،  $u$  زمان حرارتی برای سبزشدن و  $a$  و  $b$  و  $c$  ضرایب معادله هستند. ضریب  $a$  حداکثر درصد سبزشدن،  $b$  سرعت سبزشدن (در روز) و  $c$  پارامتر شکل هستند. چنانچه مدل توصیف خوبی از داده‌ها داشته باشد، با کمک برنامه‌ای که در ویژوال بیسیک ادیتور<sup>۱</sup> اکسل نوشته شد مؤلفه‌های سبزشدن یا جوانه‌زنی، محاسبه خواهند شد. مؤلفه‌هایی که در این مدل محاسبه می‌شوند عبارت‌اند از زمان تا ۱۰، ۲۰، ۳۰، ۴۰، ۵۰، ۶۰، ۷۰، ۸۰ و ۹۰ درصد جوانه‌زنی، سرعت، یکنواختی و درصد جوانه‌زنی. در برنامه Germin (نسخه ۲) زمان تا درصدهای خاصی از جوانه‌زنی از طریق درونیابی خطی داده‌های حاصل از مدل چاپمن - ریچاردز محاسبه می‌شود. سرعت جوانه‌زنی نیز مشابه نسخه اول [۲] و به صورت زیر محاسبه می‌شود:

$$R50=1/T50 \quad (3) \quad (\text{سرعت جوانه‌زنی})$$

در این معادله  $T50$  معادل زمان تا ۵۰ درصد جوانه‌زنی است. یکنواختی جوانه‌زنی نیز حاصل تفاضل زمان تا ۱۰ درصد جوانه‌زنی و زمان تا ۹۰ درصد جوانه‌زنی است. همچنین، در صورتی که درصد سبزشدن به ۵۰ نرسد، سرعت سبزشدن را می‌توان از دهکه‌ای دیگر محاسبه

#### 1. Visual Basic Editor (VBE)

## به روزی کشاورزی



شکل ۱. نحوه محاسبه زمان‌های سبزشدن با دو نسخه مختلف برنامه Germin، (الف) نسخه ۲ برنامه است که بعد از برازش مدل چاپمن-ریچاردز زمان تا درصدهای خاصی از سبزشدن را از طریق درون‌یابی خطی محاسبه می‌کند. (ب) نسخه قدیمی برنامه را نشان می‌دهد که با درون‌یابی خطی به داده‌های اصلی زمان تا درصدهای خاصی از حداکثر سبزشدن را محاسبه می‌کند. همچنین، از هر دو نسخه می‌توان برای تعیین زمان‌های جوانه‌زنی استفاده کرد.

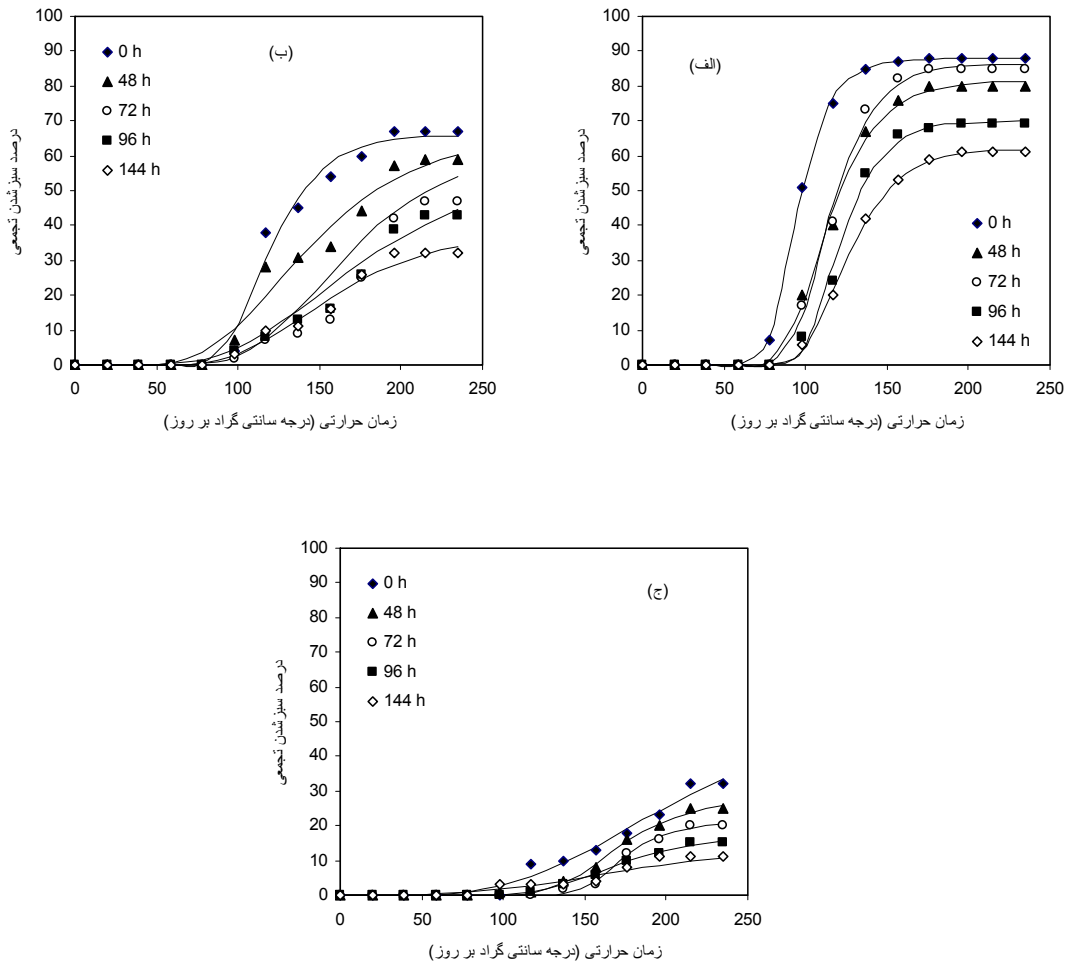
حدود ۲۴۰ درجه سانتی‌گراد بر روز رسید (شکل ۲ ج).

#### جدول ۱ اطلاعات مربوط به ضرایب معادله برازش

داده شده برای همه تیمارها با مقادیر اشتباہ استاندارد، تخمین ضرایب و مقدار ضریب تبیین ( $R^2$ ) بین زمان حرارتی و سبزشدن تجمعی را نشان می‌دهد. تیمارهای شاهد بذری دارای بالاترین مقادیر ضرایب a و b بودند. حداکثر درصد سبزشدن (ضریب a) در تیمار محیطی شاهد با افزایش هر ساعت دوره تسریع پیری به صورت خطی با شبیی معادل  $0.19 \times 10^{-4}$  درصد کاهش یافت (ضریب تبیین  $0.79 \times 10^{-4}$ ؛ شکل ۴). میزان کاهش حداکثر درصد سبزشدن با افزایش سطح زوال بذر در تیمار خشکی ۵-بار نیز مشابه تیمار محیطی شاهد بود (شکل ۵)، با این تفاوت که میزان اولیه حداکثر درصد سبزشدن از ۹۱ درصد در تیمار شاهد محیطی به ۷۶ درصد در تیمار خشکی ۵-بار رسید. این نشان می‌دهد که واکنش درصد سبزشدن بذرهایی با قدرت مختلف در شرایط تنش خشکی متوسط و شرایط مطلوب رشد یکسان است، یعنی با شیب یکسانی کاهش می‌یابند. اما، با افزایش شدت تنش خشکی تا ۱۰-بار اختلافات بین بذور با قدرت‌های مختلف بیشتر نمایان شد و کاهش شدیدی در درصد سبزشدن بذور مشاهده شد (شکل ۶).

#### ۳. نتایج و بحث

درصد سبزشدن تجمعی در مقابل زمان حرارتی، به صورت مشاهده شده و پیش‌بینی شده در شکل ۲ نشان داده شده است. مدل استفاده شده (معادله ۲) توصیف مناسبی از واکنش سبزشدن در مقابل زمان حرارتی پیشنهاد کرد (شکل‌های ۲ و ۳). البته دقت پیش‌بینی برای تیمارهای بذر در محیط شاهد بیشتر بود (جدول ۱؛ شکل ۳). زمان حرارتی مشاهده شده مورد نیاز برای سبزشدن در تیمار شاهد بذر و در محیط شاهد ۱۴۵ درجه سانتی‌گراد بر روز بود و با افزایش دوره زوال بذر به ۱۹۴ درجه سانتی‌گراد بر روز در تیمار ۱۴۴ ساعت تسریع پیری رسید (شکل ۲الف). در محیط خشکی متوسط زمان حرارتی برای همه تیمارهای بذری افزایش یافت، به طوری که برای تیمار شاهد بذری و ۱۴۴ ساعت تسریع پیری به ترتیب ۱۹۱ و ۲۰۷ درجه سانتی‌گراد بر روز بود (شکل ۲ب). تنش شدید خشکی موجب افزایش بیشتر زمان حرارتی برای سبزشدن شد. به طوری که زمان حرارتی برای سبزشدن بذرهای شاهد به ۲۱۱ درجه سانتی‌گراد بر روز افزایش یافت و این مقدار برای بذرهای زوال یافته به مدت ۱۴۴ ساعت به



شکل ۲. درصد سبزشدن تجمعی مشاهده شده (خطها) و پیش‌بینی شده (علائم) در مقابل زمان حرارتی برای بذرهای شاهد، ۴۸، ۷۲ و ۱۴۴ ساعت تسریع پیری شده در شرایط محیطی شاهد (الف) و خشکی متوسط (۵-بار) (ب) خشکی شدید (۱۰-بار) (ج).

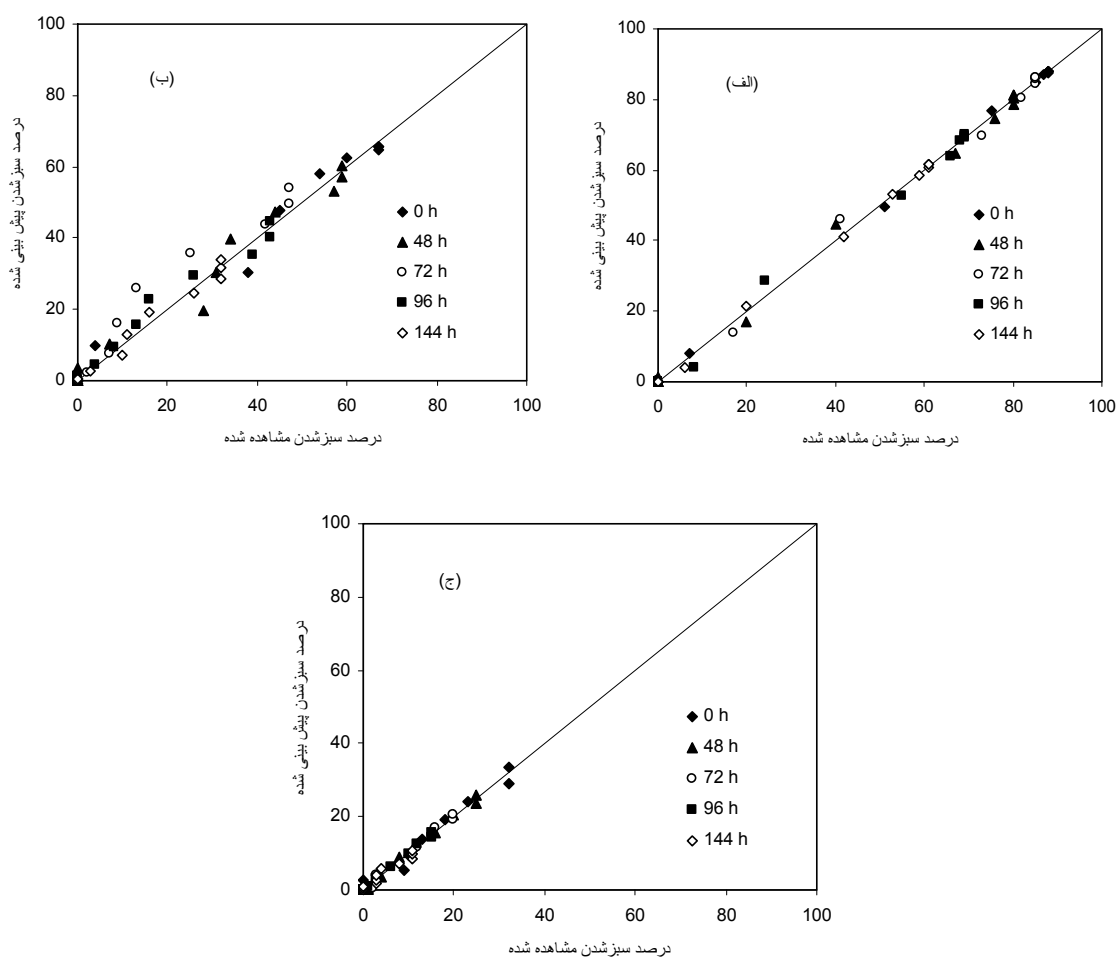
خشکی شدید به ترتیب حدود ۲، ۴ و ۶۳ درصد بود (شکل ۷). این امر نشان می‌دهد که کیفیت بذر به‌ویژه در شرایط نامساعد محیطی اهمیت زیادی دارد. سرعت سبزشدن (ضریب *b*) نیز با افزایش دوره زوال کاهش معنی‌داری در هر دو شرایط محیطی داشت. اما نوع واکنش سرعت سبزشدن در برابر زوال بذر در شرایط محیطی شاهد و خشکی ۵-بار تفاوت داشت (شکل‌های ۴ و ۵). در شرایط محیطی شاهد شبک کاهش سرعت سبزشدن معادل ۰/۰۰۰۱ به ازای هر ساعت افزایش زوال

نتایج نشان داد که درصد کاهش در تیمار ۱۴۴ ساعت زوال نسبت به شاهد برای صفت درصد سبزشدن در شرایط محیطی شاهد، خشکی متوسط و خشکی شدید به ترتیب حدود ۲۹، ۴۲ و ۷۲ درصد بود (شکل ۷). این امر حاکی از آن است که در شرایط تنفس شدید محیطی (نظیر خشکی شدید) اختلافات بین بذور با قدرت‌های متفاوت بیشتر نمایان خواهد شد. همچنین، درصد کاهش بذوری که ۷۲ ساعت زوال یافته بودند نسبت به شاهد برای صفت درصد سبزشدن در شرایط شاهد، خشکی متوسط و

## بهزادی کشاورزی

درصد بود. در بذرهای زوال یافته به مدت ۱۴۴ ساعت کاهش سرعت سبزشدن نسبت به شاهد در همان شرایط محیطی به ترتیب ۵۱، ۳۳ و ۸۷ درصد بود. پارامتر شکل (ضریب c) در شرایط محیطی مختلف تحت تأثیر زوال بذر قرار نگرفت، همچنین، تغییرات این پارامتر روند مشخصی تحت تأثیر شرایط محیطی نیز نداشت (جدول ۱).

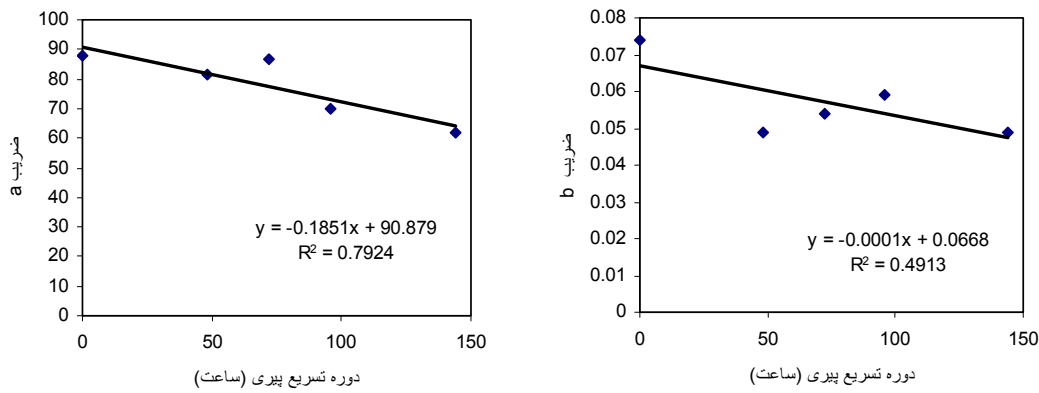
بود، ولی تحت تنش خشکی ۵-بار نوع واکنش نیز تفاوت داشت و کاهش شدید اولیه‌ای در سرعت سبزشدن مشاهده شد. این نشان می‌دهد که کاهش سرعت سبزشدن تحت تأثیر زوال بذر در شرایط دشوار محیطی بیشتر می‌شود. درصد کاهش سرعت سبزشدن بذور زوال یافته به مدت ۷۲ ساعت نسبت به شاهد در شرایط محیطی مطلوب، تنش خشکی متوسط و تنش خشکی شدید به ترتیب ۲۷، ۵۱ و



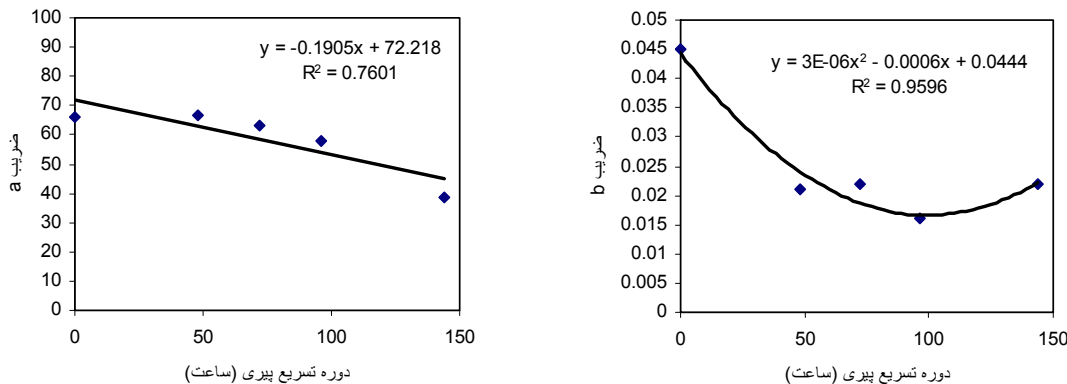
شکل ۳. درصد سبزشدن مشاهده شده در مقابل پیش‌بینی شده در تیمارهای زوال بذر در شرایط شاهد (الف) و خشکی متوسط (۵-بار) (ب) خشکی شدید (۱۰-بار) (ج) با استفاده تابع رشد جانبی. خط ۱:۱ نیز رسم شده است.

جدول ۱. ضرایب a، b و c همراه با مقادیر اشتباه استاندارد آنها و ضریب تبیین ( $R^2$ ) در مدل استفاده شده برای توصیف سبزشدن

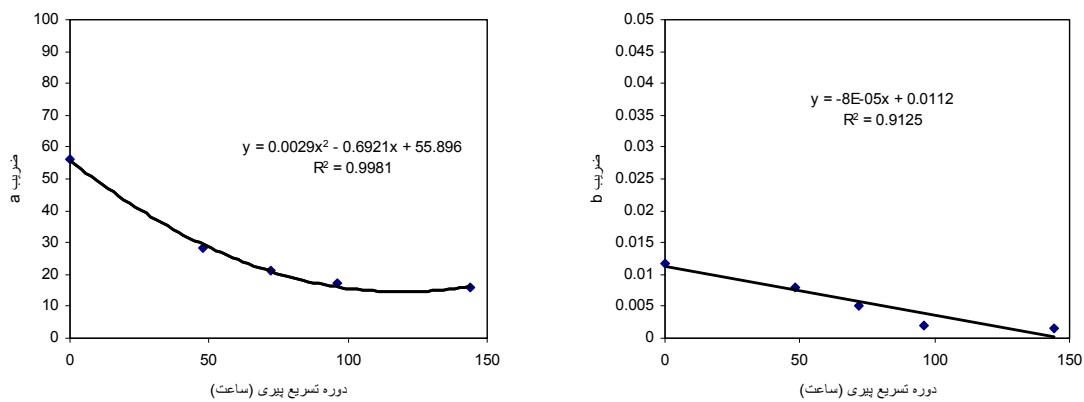
$R^2$	ضریب c	ضریب b	ضریب a	تیمار بذری	شرایط محیطی
۰/۹۸	۷۶۰/۸±۵۲۶/۱	۰/۰۷۴±۰/۰۰۷۴	۸۷/۷۹±۱/۲۳	۰	
۰/۹۸	۱۸۰/۲±۱۰۲/۱	۰/۰۴۹±۰/۰۰۵۲	۸۱/۴۹±۱/۶۴	۴۸	
۰/۹۳	۳۶۷/۲±۴۰۴/۰	۰/۰۵۴±۰/۰۰۹۹	۸۶/۴۵±۲/۸۳	۷۲	شاهد
۰/۹۳	۹۲۸/۵±۱۲۹۹/۴	۰/۰۵۹±۰/۰۱۱۸	۷۰/۰۳±۲/۴۰	۹۶	
۰/۹۶	۳۱۱/۰±۲۴۷/۶	۰/۰۴۹±۰/۰۰۶۶	۶۱/۹۹±۱/۷۲	۱۴۴	
۰/۷۶	۱۶۳/۴±۳۲۰/۶	۰/۰۴۵±۰/۰۱۷۳	۶۶/۰۳±۵/۱۲	۰	
۰/۷۶	۱۲/۲۷±۱۴/۲	۰/۰۲۱±۰/۰۰۹۴	۶۶/۷۴±۱۲/۵۶	۴۸	خشکی متوسط
۰/۸۰	۲۷/۲۲±۲۸/۴۷	۰/۰۲۲±۰/۰۰۸۰	۶۳/۱۷±۱۱/۷۹	۷۲	(۵-بار)
۰/۸۷	۱۰/۴۷±۷/۷۴	۰/۰۱۶±۰/۰۰۶۳	۵۸/۱۵±۱۴/۴۸	۹۶	
۰/۵۹	۲۱/۶۶±۴/۵۸	۰/۰۲۲±۰/۰۱۵۱	۳۸/۴۱±۱۱/۹۹	۱۴۴	
۰/۸۳	۸/۰۳±۹/۹۵	۰/۰۱۲±۰/۰۱۰۶	۵۶/۲۲±۱۳/۴۸	۰	خشکی شدید
۰/۸۰	۱۶۳/۸±۴۰/۶/۵۰	۰/۰۰۸±۰/۰۱۶۷	۲۸/۳۸±۶/۳۴	۴۸	(۱۰-بار)
۰/۷۵	۴۵۶±۲/۹	۰/۰۰۵±۰/۰۲۹۰	۲۱/۰۴±۳/۵۷	۷۲	



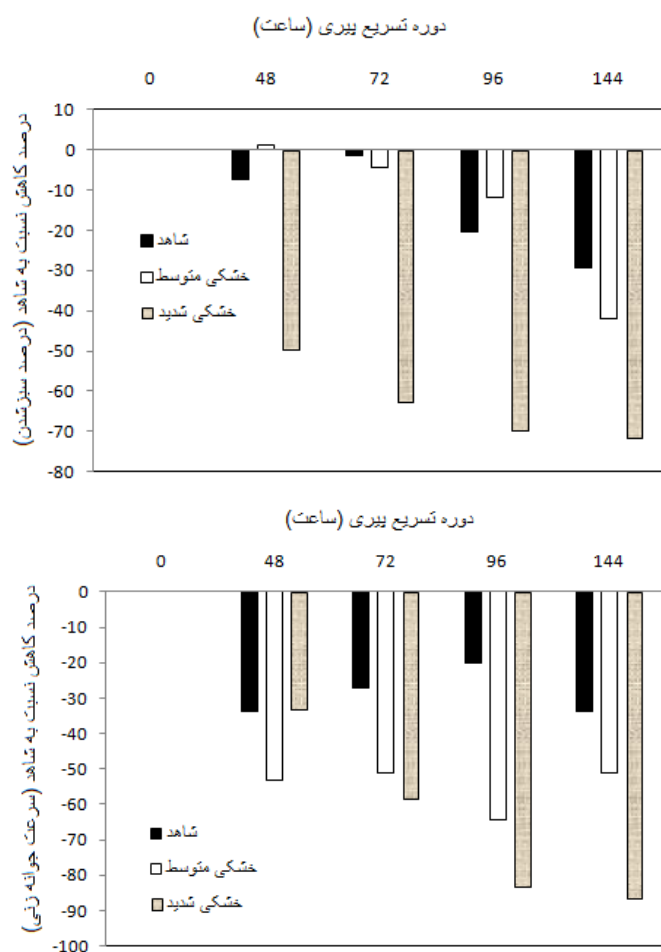
شکل ۴. اثر زوال بذر بر ضرایب a (حداکثر سبزشدن) و b (سرعت سبزشدن) در شرایط محیطی شاهد



شکل ۵. اثر زوال بذر بر ضرایب a (حداکثر سبزشدن) و b (سرعت سبزشدن) در شرایط خشکی متوسط (۵-بار)



شکل ۶. اثر زوال بذر بر ضرایب a (حداکثر سبزشدن) و b (سرعت سبزشدن) در شرایط خشکی شدید (۱۰-بار)

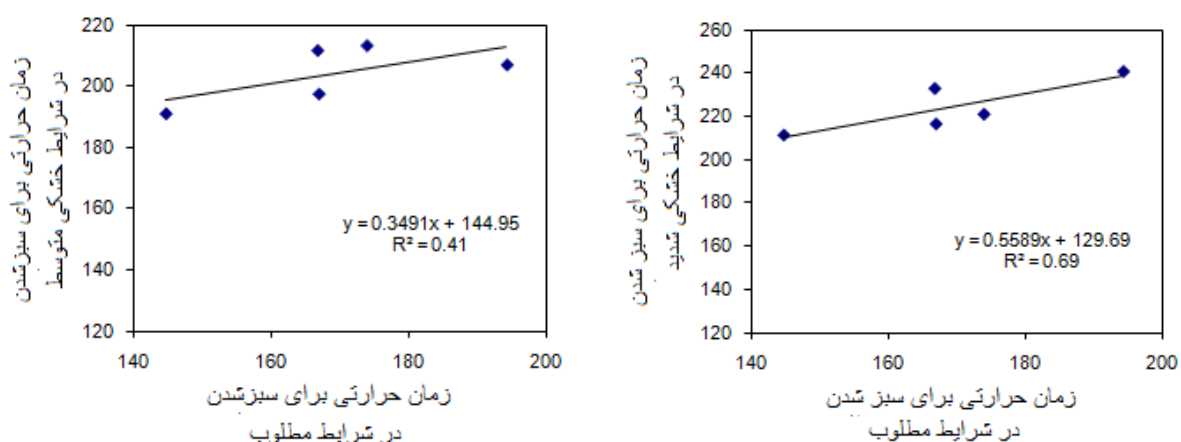


شکل ۷. درصد کاهش درصد و سرعت سبزشدن بذرهاي زوال يافته نسبت به شاهد در شرایط محیطی مطلوب، خشکی متوسط و خشکی شدید. همچنین، درصد و سرعت در این شکل‌ها از مقادیر به دست آمده توسط مدل هستند و نه داده‌های مشاهداتی.

تسريع پیری کاهش پیدا کرد، به طوری که در صد سبزشدن از ۸۷ درصد در بذرهای شاهد به صفر در صد در بذرهایی که ۱۵ روز تسريع پیری شده بودند، رسید [۳]. بذرهای بزرگ‌تر خردل و با دوره انبارداری کمتر در صد سبزشدن بیشتری نسبت به بذرهای کوچک و دوره انبارداری بیشتر داشتند [۴]. با هر سال افزایش دوره انبارداری، استقرار گیاهچه کاهش می‌یابد که این کاهش در بین ارقام مطالعه شده متفاوت بود. همچنین، بذرهایی با قدرت بالاتر سرعت سبزشدن بیشتری داشتند [۲۵]. با اینکه تحقیقات زیادی درباره اثر زوال بذر بر سبزشدن اجرا شده است، درباره اثر زوال بذر در سبزشدن در تنش‌های محیطی مطالعات محدودی انجام گرفته است [۵]. در تحقیقی نشان داده شد که اثر متقابل قدرت بذر و تنش محیطی در آفتابگردان و سویا معنی دار بود، ولی در ذرت اثرات قدرت بذر و تنش محیطی معنی دار نبود [۵]. همچنین، آن‌ها نشان دادند که میزان کاهش در صد سبزشدن برای بذرهایی با سطح قدرت بذر بالاتر نسبت به بذرهایی با قدرت متوسط و پایین کمتر بود، یعنی بذرهایی با قدرت بذر کمتر دامنه تحمل به شرایط تنش کمتری دارند [۵].

زوال بذر موجب افزایش زمان حرارتی برای سبزشدن بذر در شرایط محیطی مطلوب، خشکی متوسط و خشکی شدید شد (شکل ۲). با افزایش زمان حرارتی برای سبزشدن در شرایط محیطی مطلوب زمان حرارتی برای سبزشدن در خشکی متوسط (پتانسیل ۵-۰ بار) نیز به صورت خطی و با شیب  $0/35$  افزایش یافت (شکل ۸). همچنین، بین زمان حرارتی برای سبزشدن در شرایط عدم تنش محیطی و تنش شدید خشکی رابطه‌ای وجود داشت و با افزایش زمان حرارتی برای سبزشدن در شرایط مطلوب، زمان حرارتی برای سبزشدن در شرایط خشکی شدید نیز به صورت خطی و با شیب  $0/56$  افزایش یافت (شکل ۸). از این رابطه می‌توان در مدل‌های شبیه‌سازی گیاهان زراعی استفاده کرد. معمولاً این مدل‌ها برای شرایط مطلوب محیطی طراحی می‌شوند، با استفاده از این رابطه می‌توان فرآیند سبزشدن در شرایط خشکی را تصحیح کرد. حتی ممکن است دیگر مراحل نموی نیز با همین ضریب قابل تصحیح باشند که نیاز به بررسی دارد.

مطالعات مختلفی درباره اثر زوال بذر بر سبزشدن انجام شده است؛ در صد سبزشدن بذرهای پنبه با افزایش در دوره



شکل ۸. رابطه بین زمان حرارتی برای سبزشدن در شرایط تنش خشکی متوسط (۵-۰ بار) و تنش خشکی شدید (۱۰-۰ بار) در مقابل زمان حرارتی در شرایط محیطی مطلوب

## به زراعی کشاورزی

جدول ۲. مقایسه دو نسخه برنامه Germin در محاسبه زمان تا ۱۰، ۵۰ و ۹۰ درصد سبزشدن.  
برای بذرهای شاهد در سه سطح خشکی

Germin <sup>v2</sup>			Germin <sup>v1</sup>			درصد سبزشدن	سطح خشکی
T90	T50	T10	T90	T50	T10		
-	۹۷/۲	۷۹/۴	۱۲۵/۵	۹۴/۶	۷۹/۰	۸۸	شاهد
-	۱۳۹/۵	۹۷/۲	۱۷۶/۸	۱۱۴/۷	۹۹/۳	۶۷	خشکی متوسط
-	-	۱۳۶/۶	۲۰۸/۱	۱۶۸/۱	۱۰۴/۷	۳۲	خشکی شدید

برخی از تیمارها کمتر از ۵۰ درصد هستند برای مقایسه تیمارها از برنامه نسخه جدید Germin استفاده شود و پارامترهایی نظیر T10 ای تا ۵۰ مقایسه شوند. در این موارد می‌توان یکنواختی جوانه‌زنی را نیز از اختلاف زمان تا ۱۰ و ۵۰ درصد جوانه‌زنی محاسبه کرد.

نتایج نشان داد که نسخه قدیمی برنامه Germin در شرایطی که درصد سبزشدن یا جوانه‌زنی، بالاست پیش‌بینی مناسبی دارد، ولی با کاهش درصد سبزشدن زمان‌های محاسبه شده منطقی به نظر نمی‌رسند. برای مثال زمان تا ۵۰ درصد جوانه‌زنی محاسبه شده در شرایط خشکی متوسط در اصل زمان تا ۳۳/۵ درصد سبزشدن بود (جدول ۲). هرچند در مدل‌های شبیه‌سازی رشد زمان تا ۵۰ درصد حداقل سبزشدن اهمیت دارد، در مطالعات بذری و مقایسه توده‌های مختلف بذری بهتر است زمان تا درصد خاصی از جوانه‌زنی براساس ۱۰۰ درصد جوانه‌زنی محاسبه شوند تا اختلاف بین توده‌های بذری نمایان‌تر شود. برنامه Germin نسخه ۲ در شرایط محیطی مطلوب برای سبزشدن پیش‌بینی مشابهی با نسخه قدیمی Germin داشت و در مواردی که درصد سبزشدن پایین بود نیز مقادیر منطقی تری برای زمان تا سبزشدن محاسبه کرد. با این حال در مطالعاتی که درصد سبزشدن و یا جوانه‌زنی، کمتر از ۹۰ درصد است، بهتر است از نسخه دوم برنامه استفاده شود. امروزه، روند رو به گسترش استفاده از مدل‌ها را در

جدول ۲ مقایسه دو نسخه Germin برای محاسبه زمان تا ۱۰، ۵۰ و ۹۰ درصد سبزشدن را در سه سطح خشکی نشان می‌دهد. همان‌طور که مشاهد می‌شود درصد سبزشدن برای شرایط شاهد، خشکی متوسط و خشکی شدید به ترتیب ۸۸، ۶۷ و ۳۲ درصد بود، یعنی بذور هرگز به ۹۰ درصد سبزشدن نرسیدند. زمان محاسبه شده تا ۱۰ و ۵۰ درصد سبزشدن در شرایط محیطی شاهد با هر دو نسخه تقریباً یکسان بود (جدول ۲). نسخه اول Germin زمان تا ۹۰ درصد جوانه‌زنی را حدود ۱۲۶ درجه روز رشد تعیین کرد. اما براساس نسخه دوم Germin به دلیل اینکه بذور به ۹۰ درصد جوانه‌زنی نرسیدند، این مقدار محاسبه نمی‌شود. در شرایط خشکی متوسط T10 محاسبه شده با دو نسخه ۱ و Germin ۲ به ترتیب حدود ۹۹ و ۹۷ درجه روز رشد بود. در شرایط خشکی متوسط T50 محاسبه شده با دو نسخه ۱ و ۲ Germin به ترتیب حدود ۱۱۵ و ۱۴۰ درجه روز رشد اصل زمان تا ۳۳/۵ درصد جوانه‌زنی بوده است که طبعاً زمان کمتری خواهد داشت. در شرایط خشکی شدید نیز به دلیل اینکه درصد سبزشدن کمتر از ۵۰ درصد بود نسخه ۲ زمان تا ۵۰ و ۹۰ درصد سبزشدن را محاسبه نمی‌کند. در این شرایط T10 محاسبه شده با دو نسخه ۱ و ۲ Germin به ترتیب حدود ۱۰۵ و ۱۳۷ درجه روز رشد بود. توصیه می‌شود برای مواردی که درصد‌های جوانه‌زنی

## پژوهی کشاورزی

خشکی شدید بیشتر از شرایط مساعد محیطی شد، می‌توان نتیجه گرفت که استفاده از بذور با کیفیت پایین در شرایط نامساعد محیطی اهمیت بیشتری خواهد یافت.

### منابع

1. سلطانی، ا؛ اکرم قادری، ف؛ سلطانی، ا؛ (۱۳۸۷). «کاربرد مدل‌سازی جوانه زنی در واکنش به دما و پتانسیل آب در تحقیقات علوم بذر». اولین همایش ملی علوم و تکنولوژی بذر ایران ۲۲ و ۲۳ آبان ماه.
2. سلطانی، ا؛ مراح، و؛ (۱۳۸۹). برنامه‌های کاربردی ساده برای آموزش و پژوهش در زراعت. انتشارات انجمن علمی بوم‌شناسی دانشگاه شهید بهشتی. ص. ۸۰
3. Basra SMA, Ahmad N, Khan M M, Iqbal N and Cheema MA (2003) Assessment of cottonseed deterioration during accelerated ageing. *Seed Science Technology*. 31: 531-540.
4. ChitraDevi L, Kant K and Dadlani M (2003) Effect of size grading and ageing on sinapine leakage, electrical conductivity and germination percentage in the seed of mustard (*Brassica juncea* L.). *Seed Science Technology*. 31: 505-509.
5. De Figueiredo E, Al buquerque MC and De Carvalho NM (2003) Effect of the type of environmental stress on the emergence of sunflower (*Helianthus annus* L.), soybean (*Glycine max* L.) and maize (*Zea mays* L.) seeds with different levels of vigor. *Seed Science Technology*. 31: 465-479.
6. Dhar U, Pangtey YPS and Tewari A (1999) Seed deterioration studies in Indian butter tree (*Aisandra butyracea* (Roxb.) Baehni). *Seed Science Technology*. 27: 963-968.

تحقیقات زراعی شاهد هستیم. مدل‌های مختلفی برای پیش‌بینی سبزشدن در گیاهان مختلف استفاده شده است [۱۲]. مدل‌های هیدروترمال تایم نمونه‌ای از این مدل‌هاست که برای استفاده از این نوع مدل نیاز به محاسبه T10 تا T90 است [۱]. با استفاده از نسخه جدید برنامه Germin می‌توان این زمان‌ها را به راحتی محاسبه کرد. همچنین، با کمک این برنامه می‌توان دیگر مؤلفه‌های سبزشدن (و یا جوانه‌زنی) را نیز محاسبه و تیمارها و آزمایش‌های مختلف را مقایسه کرد. همچنین، کاربرد این برنامه دو مزیت دیگر نیز به همراه داشت: اول اینکه با کمک ضرایب این مدل (ضرایب a, b و c) بذور با کیفیت‌های مختلف در شرایط محیطی شاهد و خشکی مقایسه شدند و دوم اینکه پارامترهای به دست آمده در این تحقیق می‌توانند در قسمت فنولوژی مدل‌های شبیه‌سازی گندم برای محاسبه زمان تا سبزشدن به کار روند.

در نهایت، استفاده از هر یک از دو نسخه برای شرایط خاص خود توصیه می‌شود. برای دسترسی به نسخه جدید برنامه Germin می‌توانید با نویسنده مسئول تماس بگیرید.

### ۱.۳. نتیجه‌گیری

نتایج این تحقیق نشان داد که نسخه ۲ برنامه Germin به خوبی می‌تواند سبزشدن (و یا جوانه‌زنی) را توصیف کند و می‌توان از مؤلفه‌های محاسبه‌شده توسط این برنامه استفاده کرد. زوال بذر موجب افزایش زمان حرارتی برای سبزشدن، کاهش درصد سبزشدن و کاهش سرعت سبزشدن در گندم شد. تنفس خشکی نیز موجب کاهش درصد و سرعت سبزشدن و افزایش زمان حرارتی برای سبزشدن شد. بین زمان حرارتی برای سبزشدن در شرایط شاهد و تنفس خشکی ارتباط خطی وجود داشت که با استفاده از رگرسیون خطی توصیف شد. با توجه به اینکه اختلاف بین بذرهای زوال‌یافته با شاهد در شرایط تنفس

7. Ellis RH and Roberts EH (1980) The influence of temperature and moisture on seed viability period in barley (*Hordeum distichum* L.). *Annals Botany.* 45: 31-37.
8. Ellis RH (1992) Seed and seedling vigour in relation to crop growth and yield. *Plant Growth Regulation.* 11: 249-255.
9. Forcella F, Benech Arnold RL, Sanchez R and Ghersa CM (2000) Modeling seedling emergence. *Field Crop Research.* 67: 123-139.
10. Hardegree SP (2006) Predicting germination response to temperature. I. Cardinal temperature models and subpopulation-specific regression. *Annals Botany.* 97: 1115-1125.
11. Hardegree SP and Winstan AH (2006) Predicting Germination Response to Temperature. II. Three-dimensional Regression, Statistical Gridding and Iterative-probit Optimization Using Measured and Interpolated-subpopulation Data. *Annals Botany.* 98: 403-410.
12. Jame YW and Cutforth HW (2004) Simulating the effects of temperature and seeding depth on germination and emergence of spring wheat. *Agriculture and Forest Meteorological.* 124: 207-218.
13. Jami Al-Ahmadi M and Kafi M (2007) Cardinal temperatures for germination of *Kochia scoparia* (L.). *Journal of Arid Environmental.* 68: 308-314.
14. Joosen RVL, Kodde J, Willemse LAJ, Ligterink W, van der Plas LHW and Huihorst HWM (2010) GERMINATOR: a soft ware package for high-throughput scoring and curve fitting of *Arabidopsis* seed germination. *Plant Journal.* 62: 148-159.
15. Krishnan P, Nagarajan S, Dadlani M and Moharir AV (2003) Characterization of wheat (*Triticum aestivum*) and soybean (*Glycine max*) seeds under accelerated ageing conditions by proton nuclear magnetic spectroscopy. *Seed Science Technology.* 31: 541- 550.
16. Krishnan P, Nagarajan S and Moharir AV (2004) Thermodynamic characterisation of seed deterioration during storage under accelerated ageing conditions. *Biosystem Engineering.* 89: 425-433.
17. Marshal AH and Lewis DN (2004) Influence of seed storage conditions on seedling emergence, seedling growth and dry matter production of temperate forage grasses. *Seed Science Technology.* 32: 493- 501.
18. Modarresi R, Rucker M and Tekrony DM (2002) Accelerating ageing test for comparing wheat seed vigour. *Seed Science Technology.* 30: 683-687.
19. Springer TL (2005) Germination and early seedling growth of chaffy-seeded grasses at negative water potentials. *Crop Science.* 45: 2075-2080.
20. Qiu J, Bai Y, Oulman B and Romo JT (2006) Using thermal time models to predict seedling emergence of orchardgrass (*Dactylis glomerata* L.) under alternating temperature regimes. *Seed Science Research.* 16: 261-271.

21. Saxton KE, Rawls WJ, Romberger JS and Papendick RI (1986) Estimation generalized soil water characteristics from texture. Soil Science Society Amer. J. 50: 1031-1036.
22. Soltani A, Robertson MJ, Torabi B, Yousefi-Daz M and Sarparast R (2006) Modeling seedling emergence in chickpea as influenced by temperature and sowing depth. Agriculture Forest Meteorological. 138: 156-167.
23. Soltani E, Galesh i S, Kam kar B and Akramghaderi F (2008) Modeling seed aging effects on the response of germination to temperature in wheat. Seed Science Biotechnology. 2: 32-36.
24. Soltani E, Galesh i S, Kam kar B and Akramghaderi F (2009) The effect of seed aging on the seedling growth as affected by environmental factors in wheat. Research Journal of Environmental Science. 3: 184-192.
25. Verma SS, Verma U and Tomer RPS (2003) Studies on seed quality parameters in deteriorating seeds in *Brassica (Brassica campestris)* seeds. Seed Science Technology. 31: 389-396.